

Fig. 1 (Prior Art)

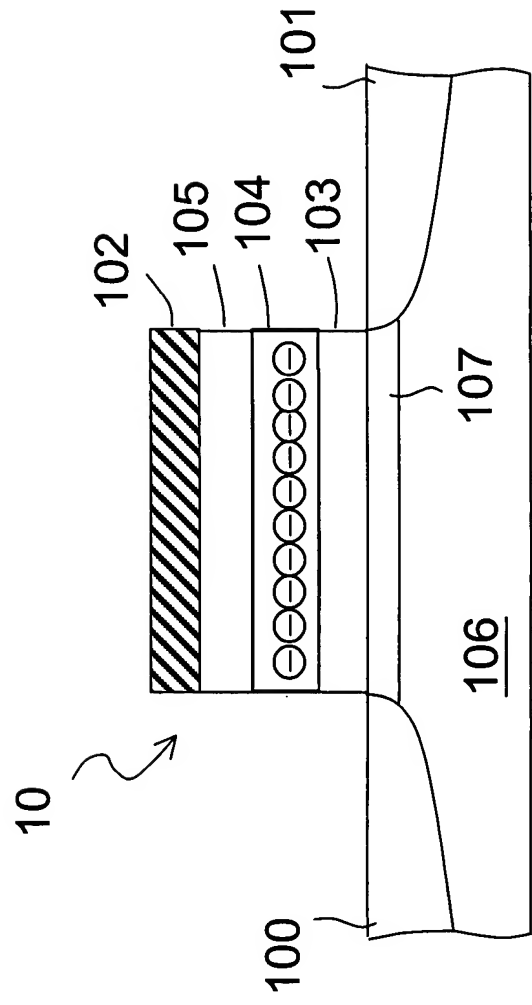


Fig. 2

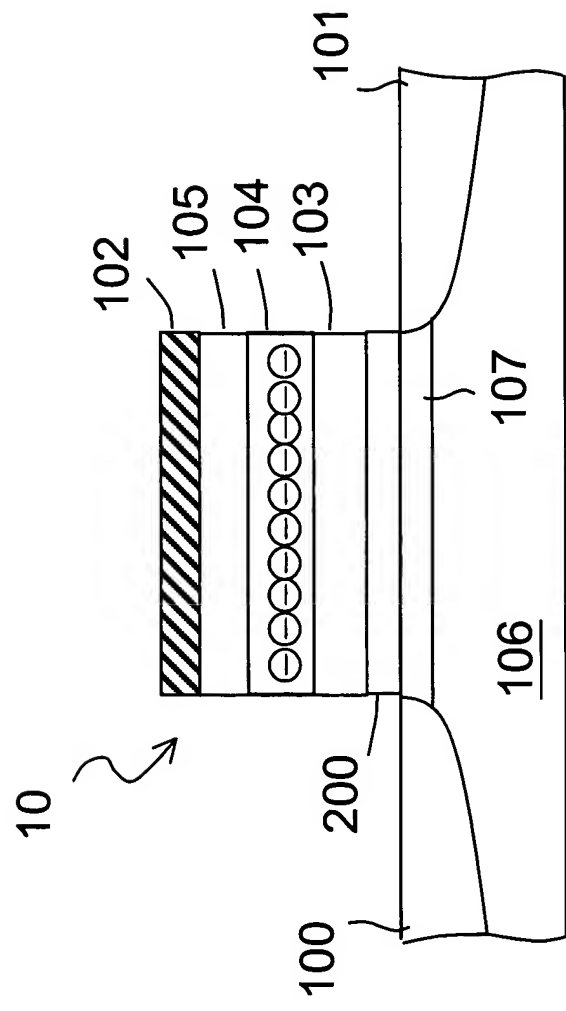


Fig. 3

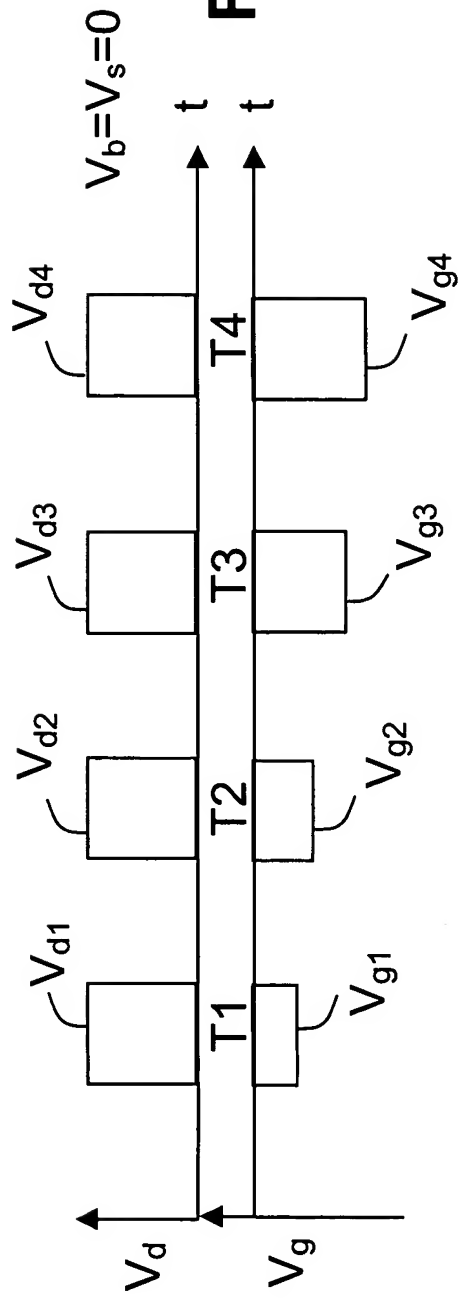


Fig. 4A

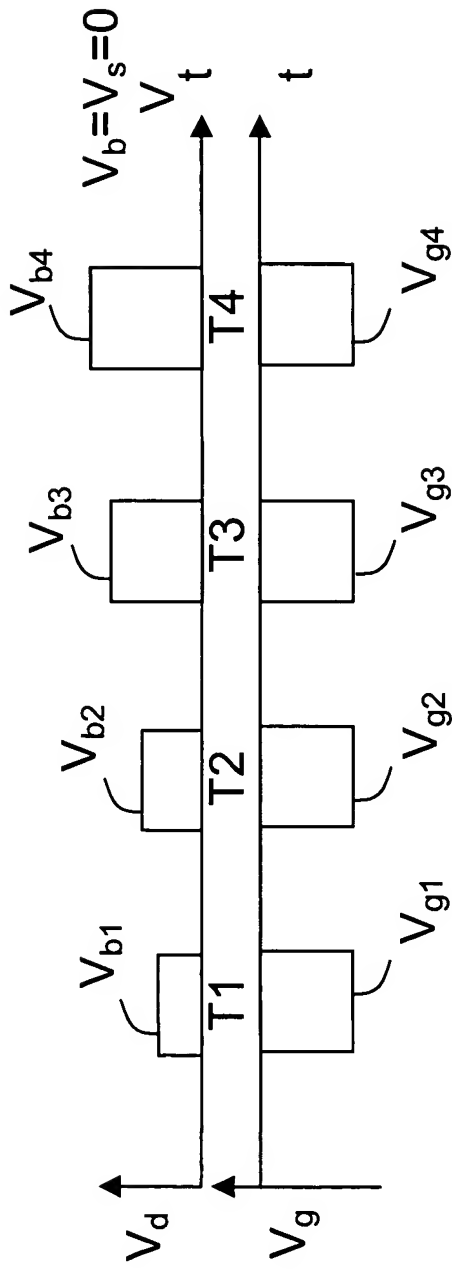


Fig. 4C

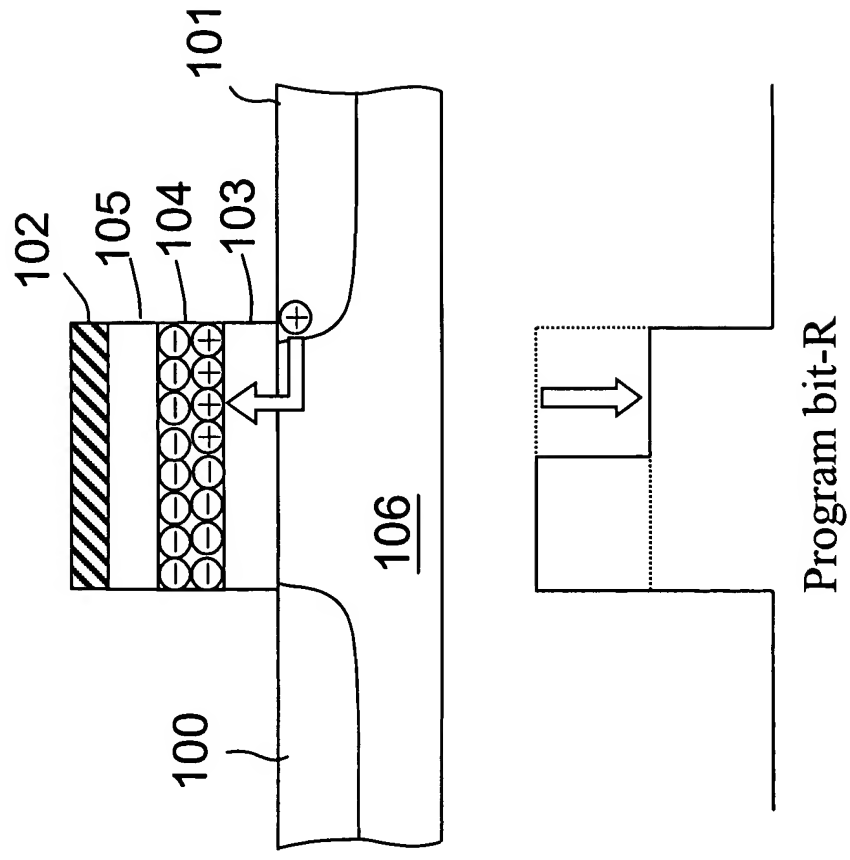


Fig. 4B

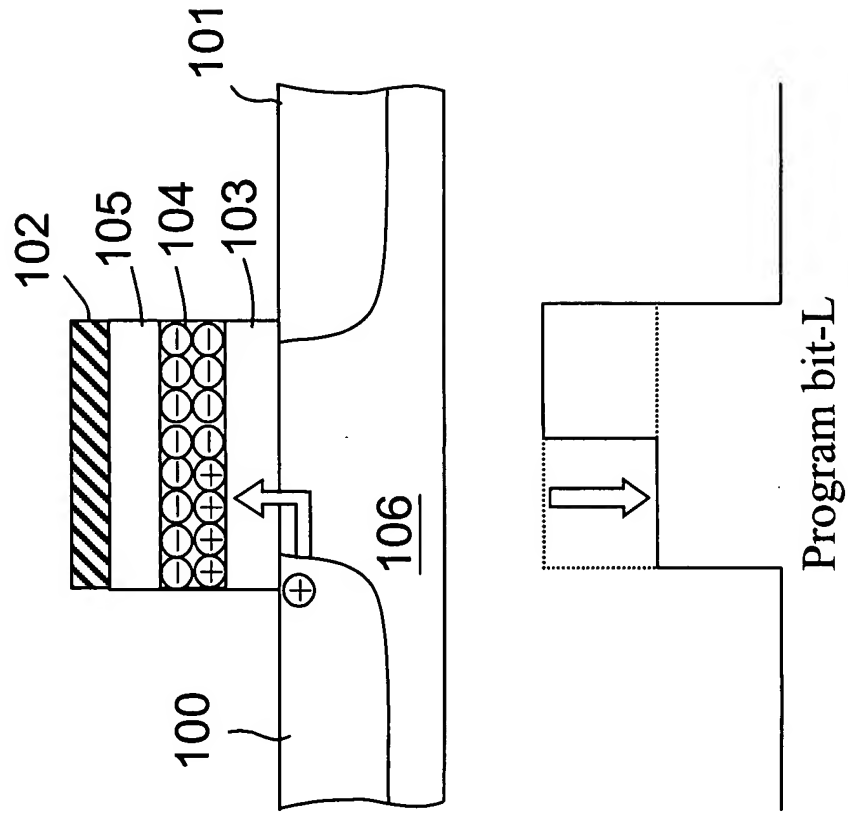


Fig. 4D

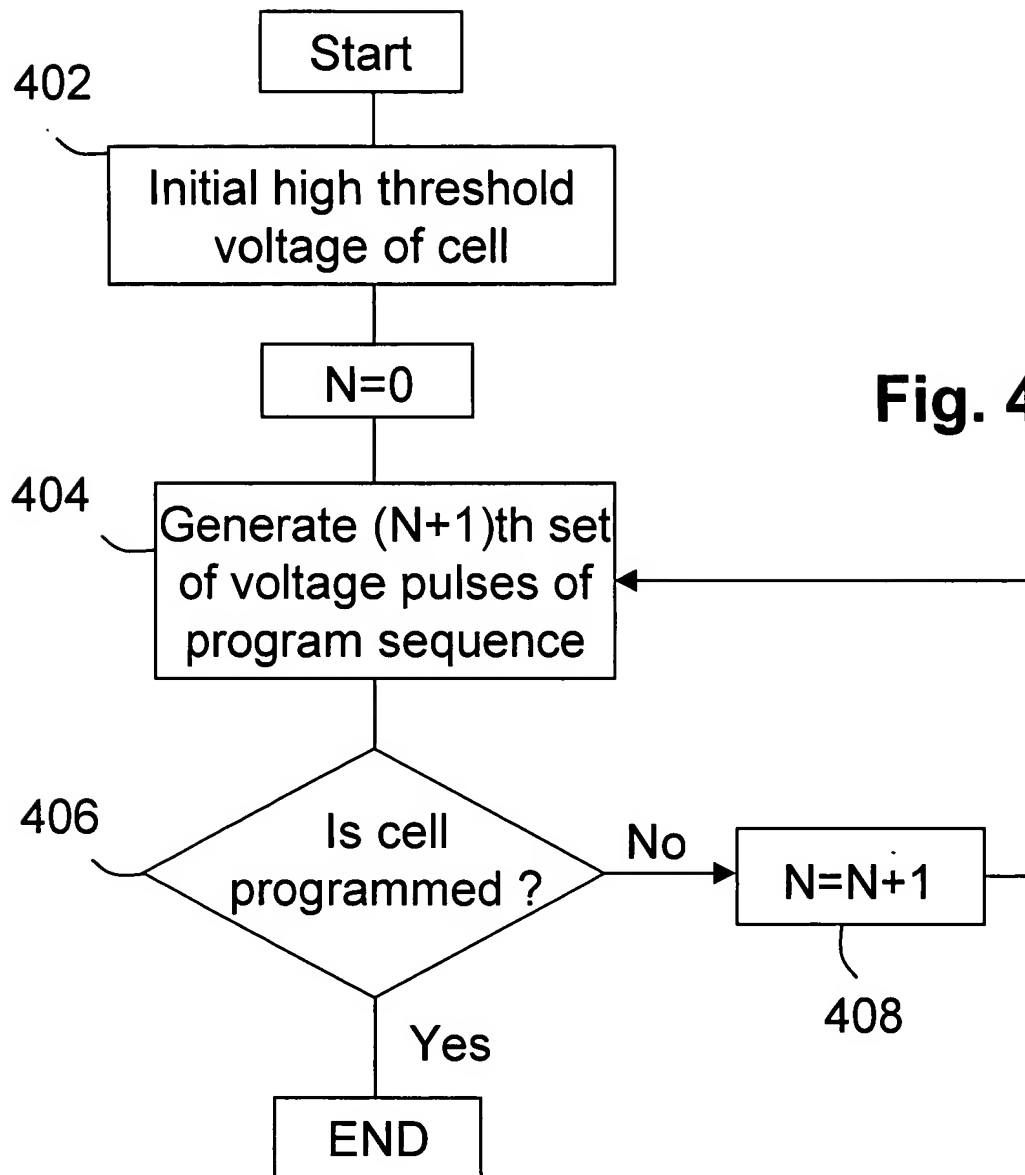


Fig. 4E

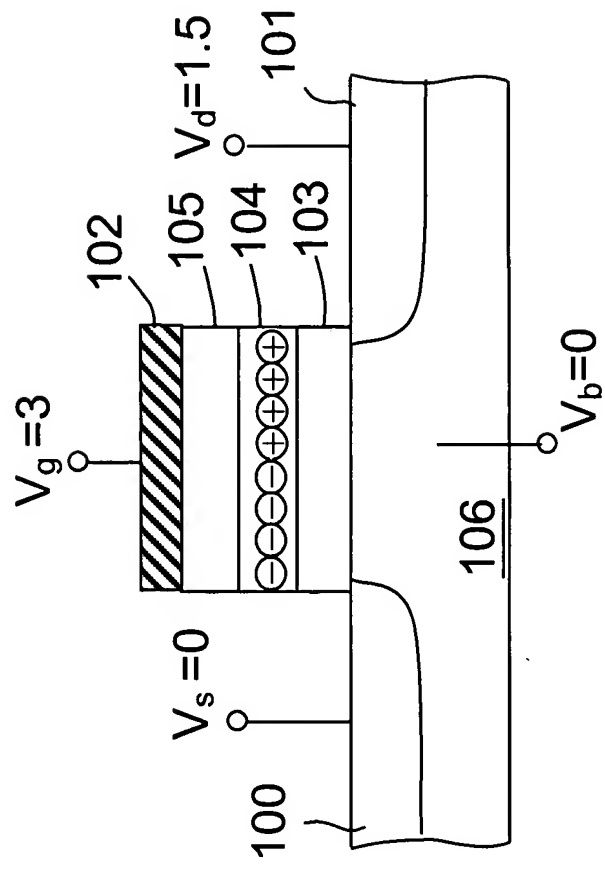


Fig. 5A

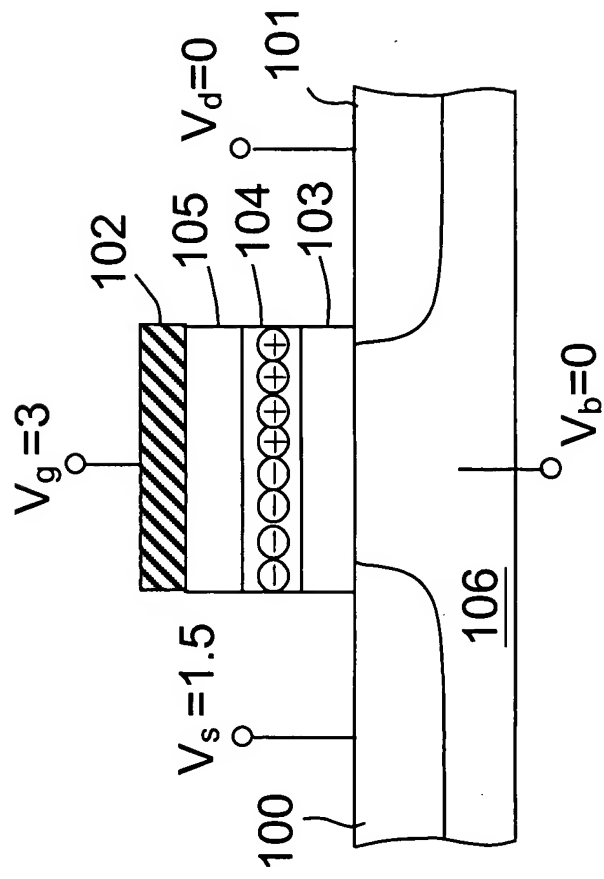
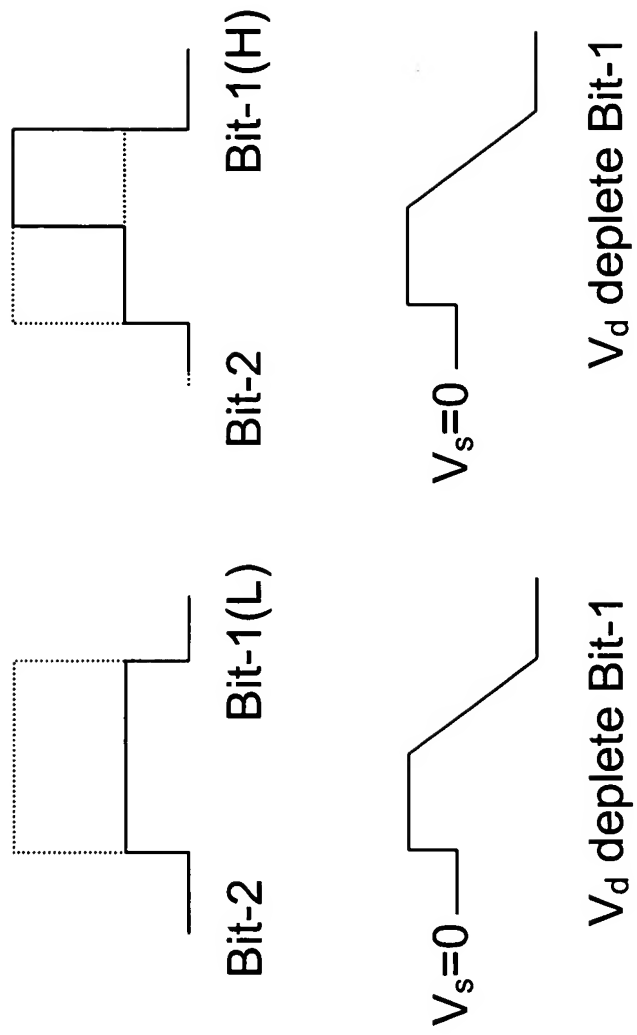


Fig. 5B



Read Bit 2 (low)

Fig. 6A

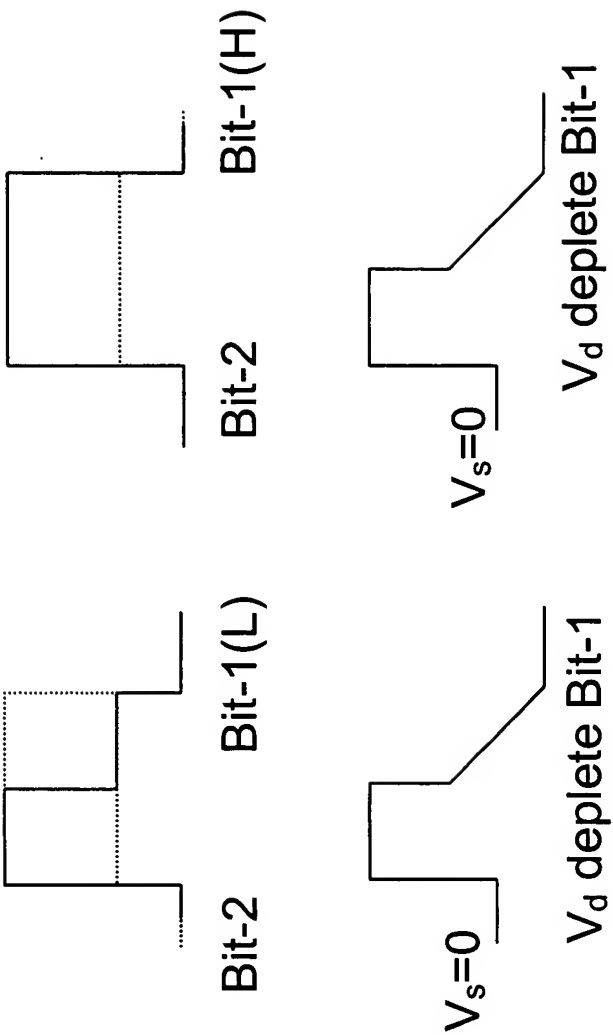
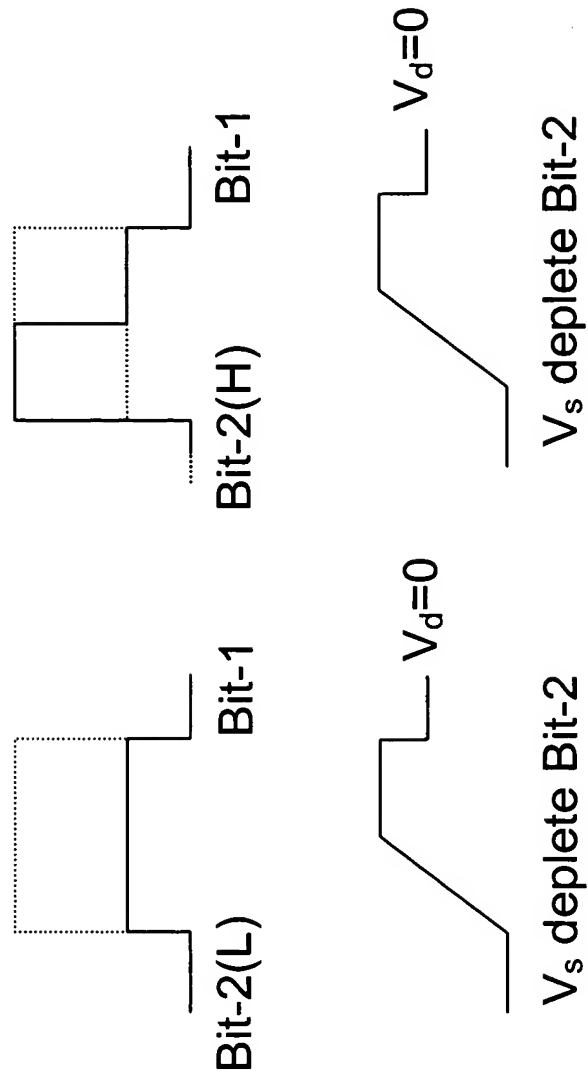


Fig. 6B



Read Bit 1 (low)

Fig. 6C

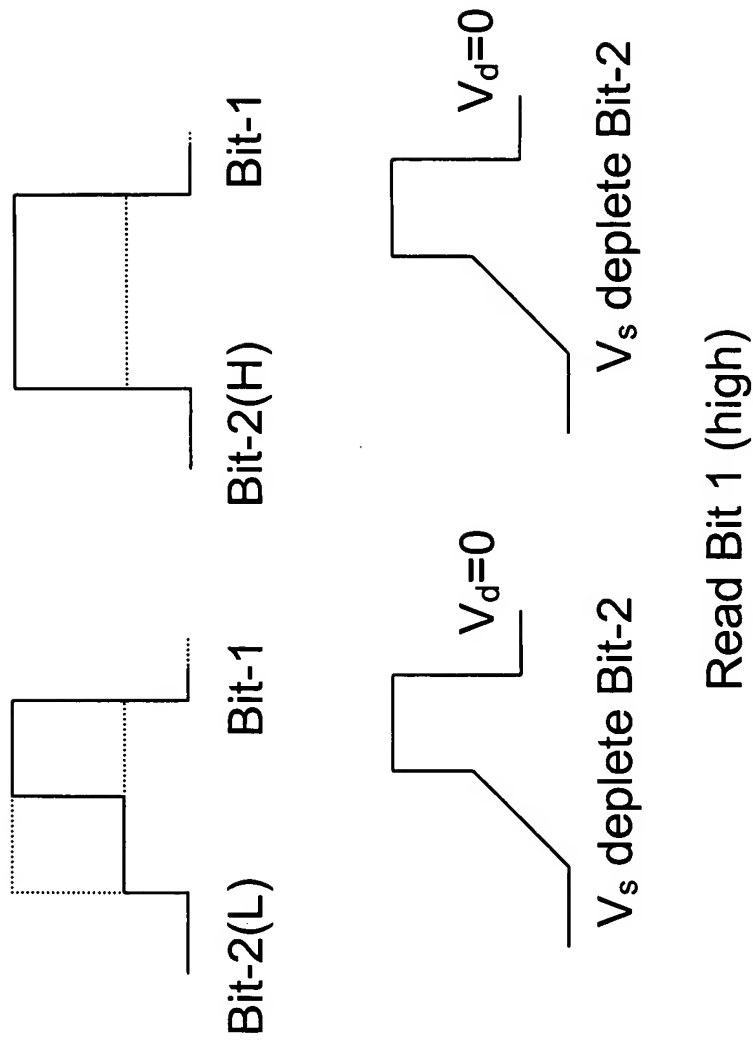
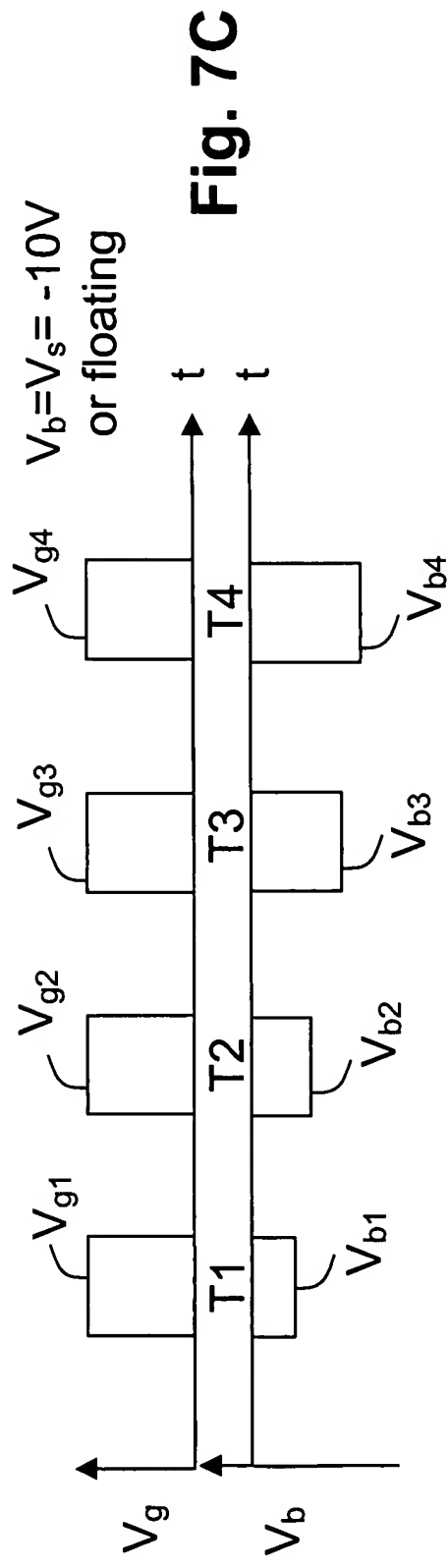
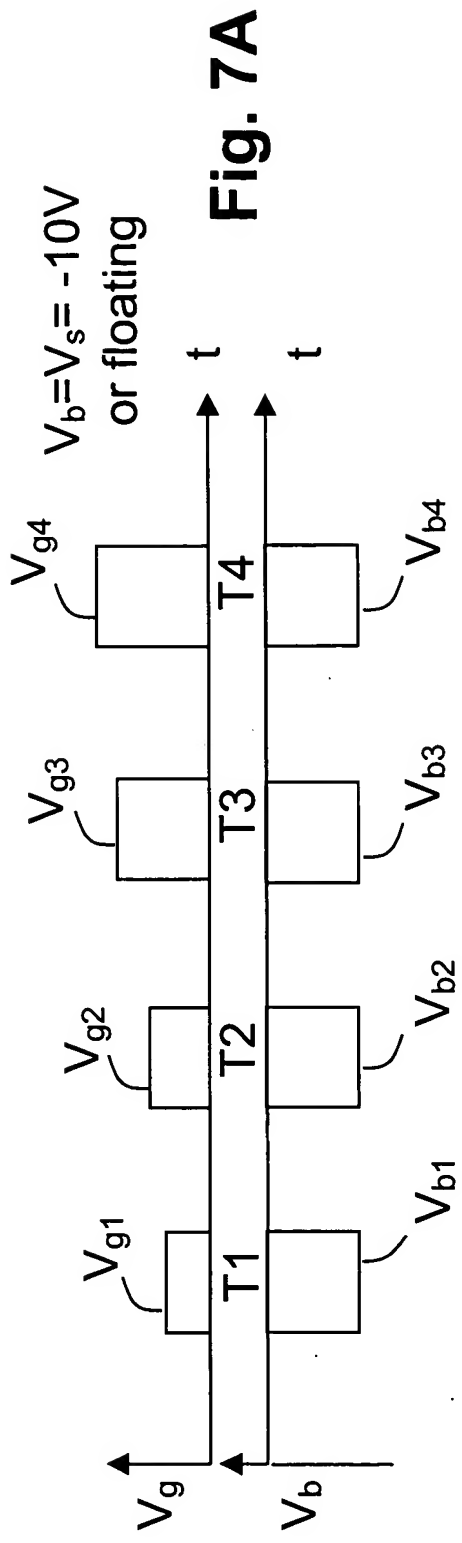


Fig. 6D



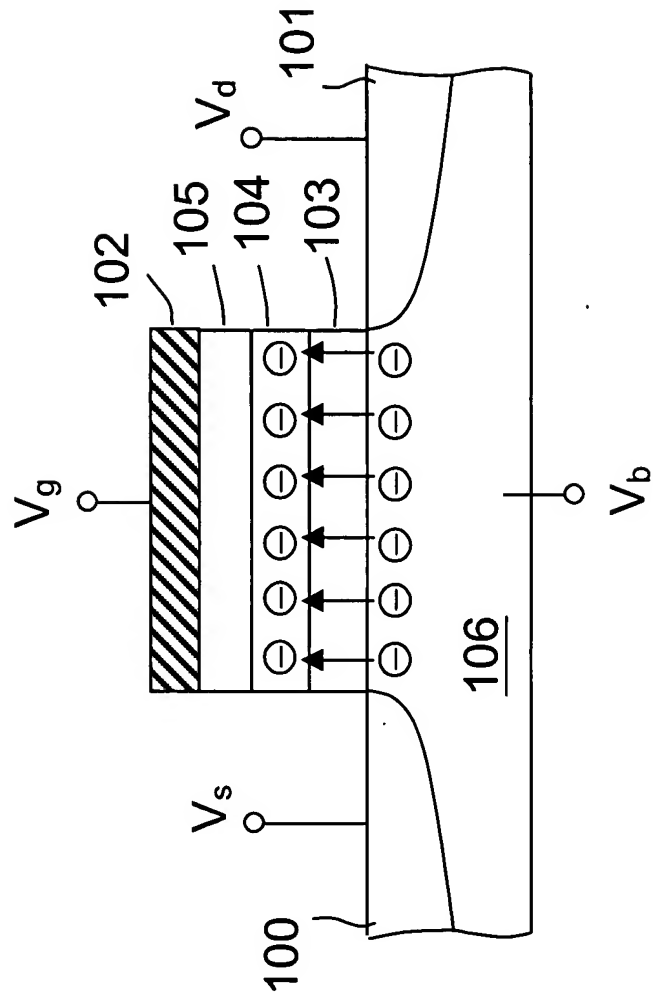


Fig. 7B

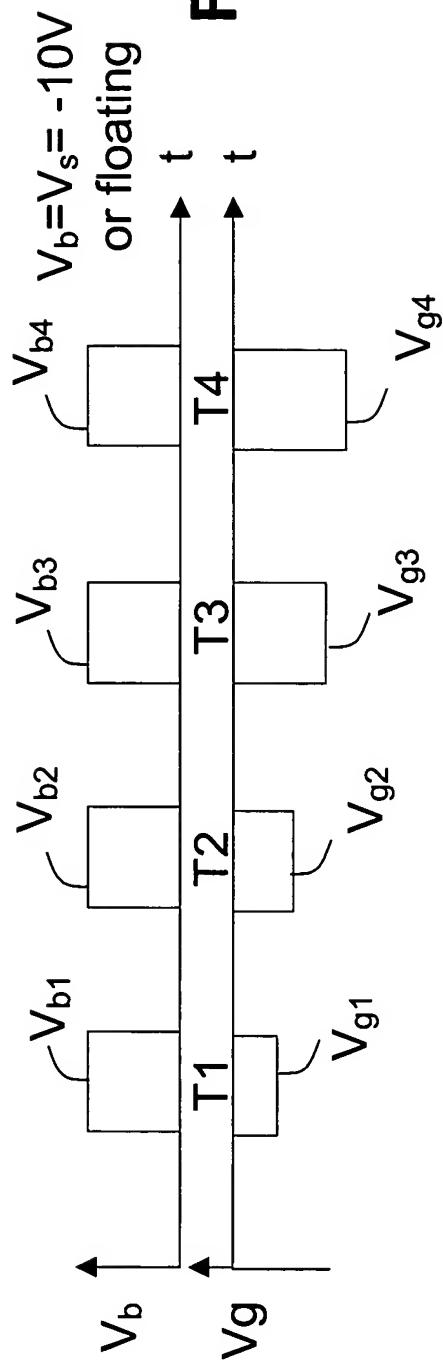


Fig. 7D

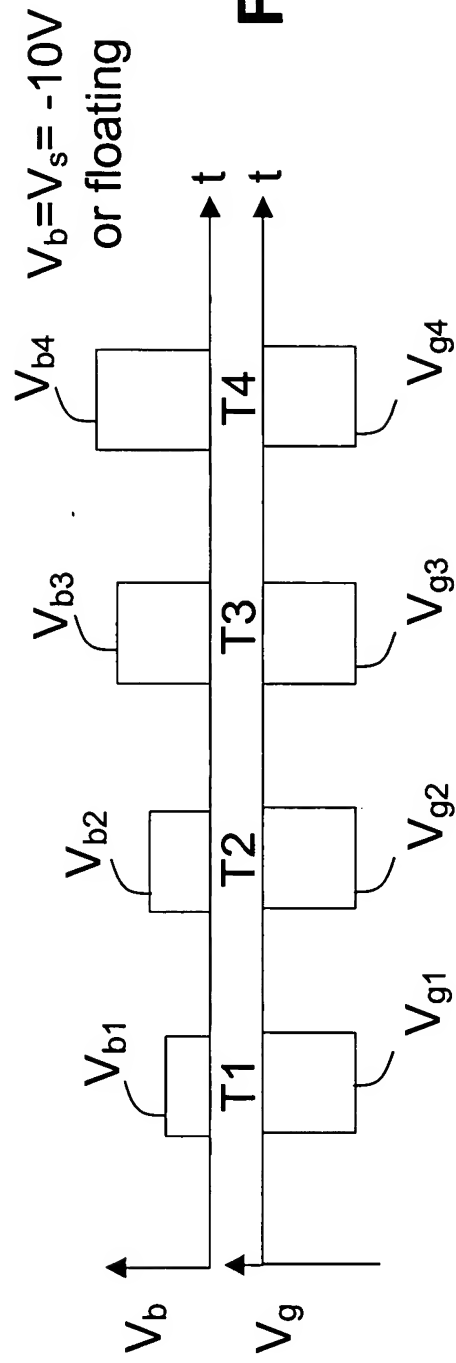


Fig. 7F

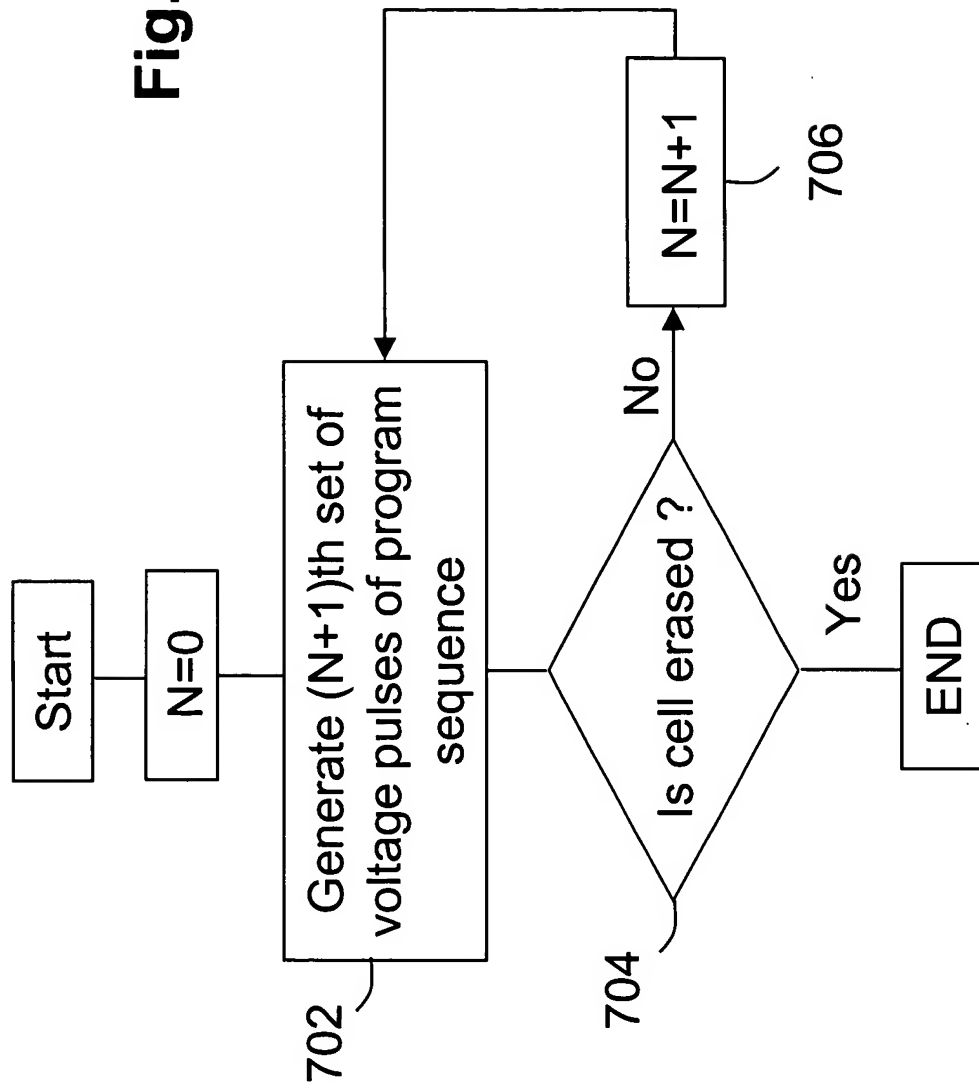


Fig. 7G

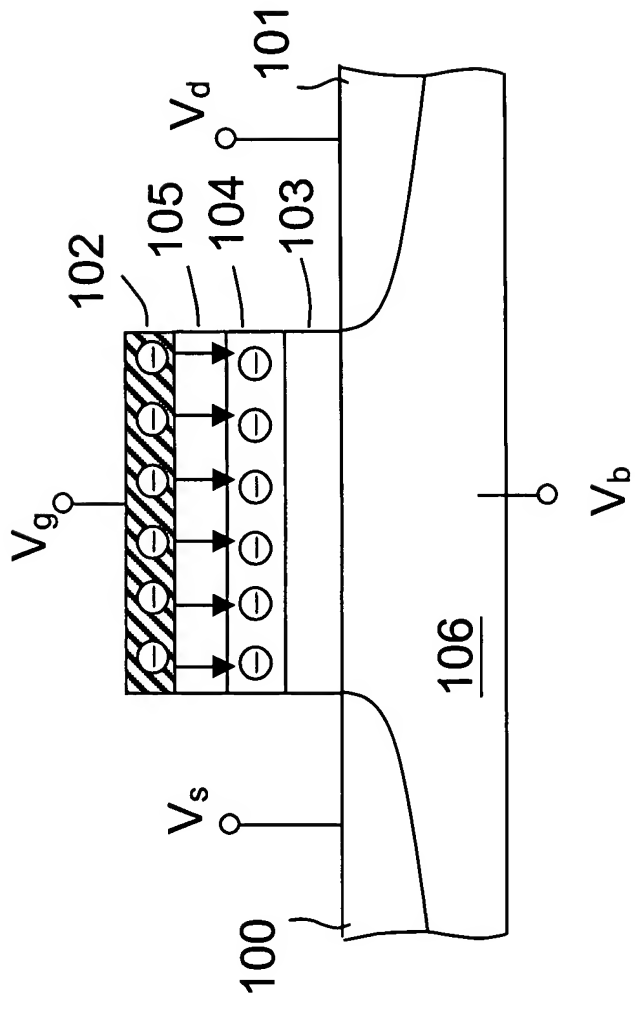


Fig. 7E

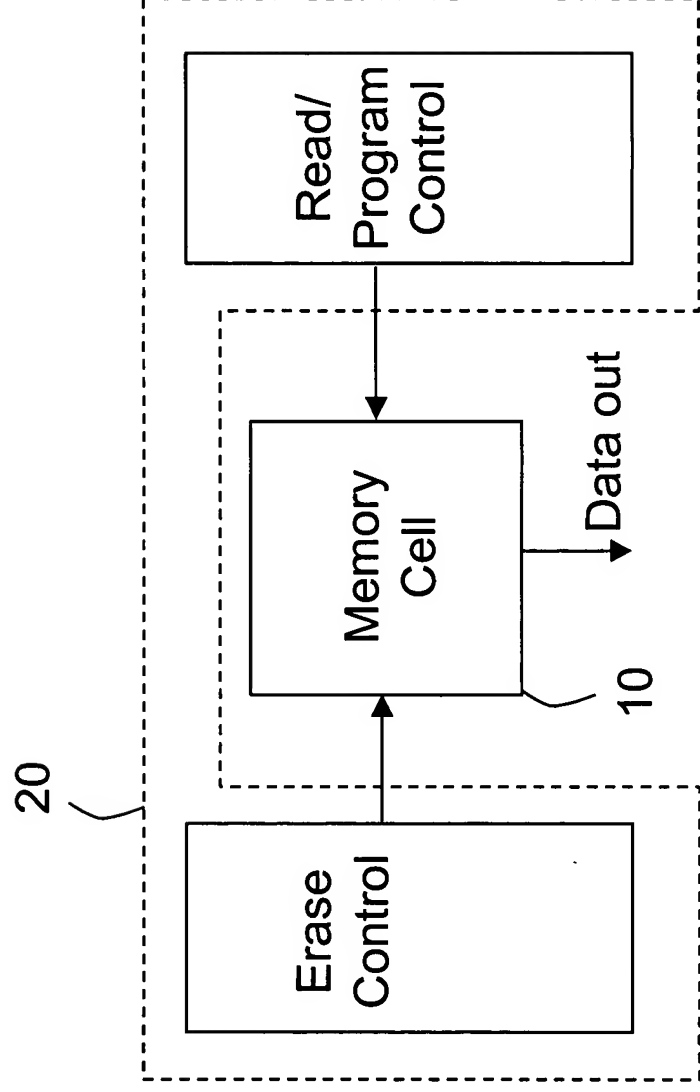


Fig. 8